

# 磁 放 大 器

〔美〕 H.F. 斯托姆著

胡汝鼎 李中藩 高 細譯

本书共分三部分：第一部分为磁学，叙述磁学理論、磁性材料及磁性試驗，第二部分为磁放大器理論，叙述带有电阻負載的饱和电抗器，其特性及运行状态，还叙述带有反馈的饱和电抗器、电器放大器等，第三部分說明元件及其运用。

本书是磁放大器方面的名著，主要供磁放大器的研究人員、設計人員閱讀，其他与此专业有关的高等院校和工程技术人员亦能作参考。

H. F. Storm

**MAGNETIC AMPLIFIERS**

(根据美国 John Wiley 一九五五年版譯出)

\* \* \*

**磁 放 大 器**

〔美〕 H.F. 斯托姆著

胡汝鼎 李中藩 高 緩譯

\*

机械工业出版社出版 (北京苏州胡同 141 号)

(北京市书刊出版业营业登记证字第 117 号)

机械工业出版社印刷厂印刷

新华书店北京发行所发行·各地新华书店經售

\*

开本 850×1168 1/32 · 印張 16 15/16 · 插頁 2 · 字数 417 千字

1965年 9月北京第一版 · 1965年 9月北京第一次印刷

印数 0,001—4,500 · 定价(科七) 3.10 元

\*

統一书号: 15033 · 3747

# 目 录

## 磁 学

第一章 磁学理論概述 .....	1
1·1 鐵磁学的发展史( 1 )——1·2 磁量 単位( 2 )——1·3 磁化 曲綫( 5 )——1·4 靜态磁滞环綫( 7 )——1·5 动态磁滞环綫 ( 8 )——1·6 鐵心損耗( 14 )——1·7 近代磁学理論 概述( 15 ) ——1·8 电子的旋轉( 15 )——1·9 原子的交換力( 17 )——1·10 晶粒作用力( 18 )——1·11 微粒的取向( 21 )——1·12 磁疇 和它 們的磁化 方式( 23 )——1·13 矩形 (方形) 磁滞环綫( 25 )—— 1·14 磁伸縮現象( 25 )	
第二章 磁性材料.....	26
2·1 材料特性( 26 )——2·2 微粒取向(各向异性) 硅鐵合金( 30 ) ——2·3 含鎳 50% 和鐵 50% 的微粒 取向 (各向异性) 合金( 34 ) ——2·4 磁疇取向 的 65-坡莫合金( 36 )——2·5 各向同性的 50-50 鎳鐵合金( 37 )——2·6 鉬坡莫 合金( 38 )——2·7 超坡莫 合金( 39 )——2·8 銅坡莫合金( 40 )——2·9 鉬 鐵 鎳 合金 和 硅 鐵鎳合金( 41 )——2·10 鐵淦氧( 41 )——2·11 使用 表 2·1 的一 些說明( 43 )	
第三章 磁性試驗.....	45
3·1 概述( 45 )——3·2 用冲击檢流計測量靜态磁滞环綫( 46 ) ——3·3 用阴极射綫示波器測量 动态磁滞环綫( 51 )——3·4 用 一个同步接点測量动态磁滞环綫( 55 )	

## 磁放大器的理論

第四章 磁放大器理論概述.....	59
4·1 导言( 59 )——4·2 鮑和电抗器电路的綜述( 60 )——4·3	

带有自由偶次谐波电流的运行和带有抑制偶次谐波电流的运行 (61)——4·4 极性(63)——4·5 饱和电抗器作为同步开关(或 闸门)(63)	
<b>第五章 带有电阻负载的饱和电抗器 具有自由偶次谐波电 流的稳态运行 串联饱和电抗器.....</b>	<b>65</b>
5·1 饱和电抗器运行的定性分析(65)——5·2 饱和角 $\alpha$ , 负出电 压 $E_0$ 以及负载电流 $I_L$ 之间的定量关系式(68)——5·3 控制电路 的方程以及磁通的关系式(70)——5·4 闸门电路的方程(72) ——5·5 以积分形式表示的法拉第法则(72)——5·6 磁通方程 (73)——5·7 等安匝法则(76)——5·8 控制电压和控制功率 (78)——5·9 谐波以及脉冲序列的展开(79)——5·10 偶次谐 波电流的抑制指标(83)——5·11 理想的矩形 $B-H$ 环线(84)	
<b>第六章 带有电阻负载的饱和电抗器 带有自由偶次谐波电 流的稳态运行 并联饱和电抗器.....</b>	<b>85</b>
6·1 一般讨论(85)——6·2 控制电路的换算电阻较小的情况 ( $R_C' \ll R_G$ )(85)——6·3 控制电路的换算电阻较大的情况 ( $R_C' \gg R_G$ )(87)	
<b>第七章 带有电阻负载以及自由偶次谐波电流时饱和电抗器 的静特性.....</b>	<b>90</b>
7·1 正常化控制特性(90)——7·2 正常激磁、过激磁和欠激磁 (92)——7·3 负载电流和控制电流(94)——7·4 负载电流和供 电电压(95)——7·5 负载电流和供电频率(97)——7·6 负载电 流和负载电阻(97)——7·7 功率输出(98)——7·8 极大功率传 输(99)——7·9 波形系数(101)——7·10 实效(均方根)闸门电流 (102)——7·11 实效(均方根)控制电流(103)——7·12 效率(103) ——7·13 功率增益(104)——7·14 安匝增益(105)——7·15 电流 增益(106)——7·16 各种电抗器的装配(106)	
<b>第八章 带有电阻负载和抑制偶次谐波电流时饱和电抗器的 静特性 .....</b>	<b>110</b>
8·1 概述(110)——8·2 交流电路中带有零电阻( $R_0=0$ )的运行 (110)——8·3 对于 $R_0=0$ 的磁通方程(115)——8·4 带有有限负	

載电阻的运行(116)——8·5 运行方式 1 (比例区)(116)——8·6	
运行方式 2(119)——8·7 运行方式 3(120)——8·8 运行方式 4 (121)——8·9 供电电压波动的效应(122)	
<b>第九章 并联负载的饱和电抗器 .....</b>	<b>122</b>
9·1 导言(122)——9·2 电阻限制区(123)——9·3 比例区(124) ——9·4 过激磁区(125)——9·5 控制特性(125)——9·6 饱和变压器(126)	
<b>第十章 带有电阻负载时饱和电抗器的暂态应答 .....</b>	<b>127</b>
10·1 概述(127)——10·2 在激磁间隔期间内的暂态应答(128) ——10·3 当控制电路电阻为零( $R_C = 0$ )时的暂态应答(130)—— 10·4 当 $R_O = 0$ 时推动电压的上升速度(132)——10·5 当 $R_C = 0$ 时的 传递函数(135)——10·6 当 $R_C \neq 0$ 时在饱和间隔期间内的暂态 应答(136)——10·7 当 $R_C \neq 0$ 时确定 SR 暂态应答的图解法(139) ——10·8 应答的一般分析(141)——10·9 指数函数的性质(143) ——10·10 串联 SR 的时间常数(144)——10·11 在欠激磁区里的 运行完全延时(147)——10·12 在过激磁区里的运行(148) ——10·13 伺服方框图(148)——10·14 对于供电电压突然变化时 的暂态应答(152)——10·15 负载电阻突然变化的暂态应答(154) ——10·16 带有多个控制绕组的暂态应答(155)——10·17 并联 SR 的暂态应答(159)——10·18 动态功率增益(161)——10·19 直 流互感器(163)	
<b>第十一章 带有电感直流负载时饱和电抗器的稳态运行 .....</b>	<b>165</b>
11·1 导言(165)——11·2 激磁间隔(166)——11·3 饱和间隔(168) ——11·4 等安匝法则(169)——11·5 正常化的控制特性(172)—— 11·6 其他特性(174)——11·7 功率输出(175)——11·8 安匝增益 (176)——11·9 功率增益(177)——11·10 整流器逆向电压(177)	
<b>第十二章 带有电感直流负载时饱和电抗器的暂态运行 .....</b>	<b>179</b>
12·1 传递函数(179)——12·2 过阻尼应答( $\zeta > 1$ )(182)——12·3 临界阻尼的应答( $\zeta = 1$ )(183)——12·4 欠阻尼(振荡)应答 ( $\zeta < 1$ )(183)	

第十三章 带有外反馈的饱和电抗器 ..... 187

- 13·1 导言(187)——13·2 磁反馈(189)——13·3 电气反馈(191)
- 13·4 带有磁外反馈时确定正常化控制特性的作图法(191)
- 13·5 无限增益(193)——13·6 带有电阻负载的继电作用(194)——13·7 带有电感直流负载的继电作用(196)——13·8 放大器带有磁外反馈时增益的分析确定(198)——13·9 从一个反馈系数到另一个反馈系数的一般转移规则(200)——13·10 整流器的逆向电流(202)——13·11 当  $h_e=1$  时影响磁放大器增益的因素(204)——13·12 电气反馈的进一步讨论(207)

第十四章 带有反馈的饱和电抗器暂态运行 ..... 208

- 14·1 具有理想矩形  $B-H$  线的通常 SR(208)——14·2 带有激磁电流的通常饱和电抗器(210)——14·3 饱和电抗器带有外反馈时的正反馈传递函数以及反反馈传递函数(212)——14·4 饱和电抗器带有外反馈时的总传递函数(215)——14·5 从静态特性确定时间常数(217)——14·6 漂移(219)——14·7 带有外反馈和带有电感直流负载的饱和电抗器(220)——14·8 完全延时(224)

第十五章 带有外反馈的饱和电抗器和带有阻塞内反馈的饱和电抗器(交流电器放大器)之间的关系 ..... 227

- 15·1 矩形磁滞环线(227)——15·2 激磁间隔(228)——15·3 饱和间隔(230)——15·4 饱和电抗器带有外磁反馈  $h_e=0.4$  时的波形(232)——15·5 带有外磁反馈  $h_e=1$  的饱和电抗器在正区中运行时的波形(233)——15·6 带有外磁反馈  $h_e=1$  的饱和电抗器在负区中运行时的波形(233)——15·7 带有阻塞内反馈的饱和电抗器(电器放大器)(233)——15·8 电器放大器的激磁间隔(241)——15·9 电器放大器的饱和间隔(245)——15·10 带有外反馈  $h_e=1$  的饱和电抗器和带有阻塞内反馈  $h_i=0$  的饱和电抗器(电器放大器)两者间的比较(248)——15·11 桥式电器放大器(249)——15·12 中心抽头式电器放大器(251)——15·13 三种类型的电器放大器控制特性的比较(253)——15·14 通常饱和电抗器的控制特性(254)——15·15 饱和电抗器带有外磁反馈时的控制特性(255)——15·16 电器放大器的控制安匝(256)——15·17 安匝增益(256)

第十六章 带有总反馈为零 ( $h = 0$ ) 的电器放大器	257
16·1 概論(257)——16·2 控制特性(258)——16·3 无因次的(正常化的)控制特性(259)——16·4 安匝 增益(261)——16·5 功率增益(263)——16·6 时间常数(263)——16·7 电器放大器的方框图(267)——16·8 动态功率 增益(268)——16·9 激磁 电流(269)——16·10 方形环线的导磁率(269)——16·11 铁心性质的評价(271)——16·12 相似法則(273)	
第十七章 带有有限总反馈的电器放大器 ( $h \neq 0$ )	278
17·1 概述(278)——17·2 反馈 线组(279)——17·3 对于各种不同的电器放大器连接法的整流器逆向 电压(281)——17·4 整流器的逆向电流(283)——17·5 整流器逆向电流对电器放大器 控制特性的效应(287)——17·6 在饱和间隔期间里带有有限平均 控制电流的电器放大器(290)——17·7 铁心有平行四边形动 态磁滞环线的电器放大器(292)	
第十八章 带有电阻负载时电器放大器的特性	294
18·1 概論(294)——18·2 供电 电压 的 效应(294)——18·3 阀门 电流的波形(294)——18·4 漏磁电抗和 饱和 电 抗 的 效应(295)——18·5 频率(297)——18·6 负载 电 阻(298)——18·7 极大的 持续负载 电流(299)——18·8 饱和角(300)——18·9 极大的 线性 负载 电压 (300)——18·10 一个阀门 线组的 伏安 定额 (300)——18·11 功率输出 和 功率 增 益 (300)——18·12 运行 温 度 的 效应(301)——18·13 相对的窗 孔 空 间(302)——18·14 效率(302)——18·15 整流器逆向 电流 增 大 的 效应(302)	
第十九章 带有抑制的控制电流交流成分的电器放大器	304
19·1 概論(304)——19·2 不带有涡流耦联的运行 (305)——19·3 控制特性(308)——19·4 涡流耦联的效应(309)——19·5 半波 电器放大器的控制方法(312)——19·6 全波电器放大器(313)	
第二十章 带有电感直流负载的磁放大器	314
20·1 概論(314)——20·2 负载电感的外部影响(315)——20·3 在 单阀门运行时阀门 电流的 波形(317)——20·4 在 $\omega t = \pi + 0$ 时 第二 个 阀门 的 效应(318)——20·5 激磁 间 隔( $0 < \omega t < \alpha, \pi < \omega t < \pi + \alpha$ )	

- (321)——20·6 鮑和間隔 ( $\alpha < \omega t < \pi$ ,  $\pi + \alpha < \omega t < 2\pi$ ) (322)——  
 20·7 附加的控制电流 (323)——20·8 控制特性的左移 (323)——  
 20·9 不稳定性的原因 (324)——20·10 带有纯电阻负载时的不稳定性 (324)——  
 20·11 激磁間隔 ( $0 < \omega t < \alpha$ ,  $\pi < \omega t < \pi + \alpha$ ) (325)——  
 ——20·12 鮑和間隔 ( $\alpha < \omega t < \pi$ ,  $\pi + \alpha < \omega t < 2\pi$ ) (325)——20·13  
 控制特性 (327)——20·14 继电作用的消除 (329)——20·15 放大器在不稳定区以外的运行 (330)——20·16 防止附加控制电流 (330)——20·17 防止附加控制电流的产生 (331)——20·18 带分流整流器的中心抽头式电器放大器 (331)——20·19 桥式电器放大器 (335)

## 元 件

第二十一章 鐵心及繞組結構 .....	337
單相結構、環形鐵心（圓環） .....	337
21·1 叠裝的鐵心 (337)——21·2 卷繞的鐵心 (337)——21·3 鐵心絕緣 (338)——21·4 線圈繞制 (339)——21·5 安裝 (340)	
矩形鐵心 .....	341
21·6 叠裝的鐵心 (341)——21·7 繞制的鐵心 (346)——21·8 繞線與絕緣 (348)——21·9 絶緣處理 (351)——21·10 安裝 (352)	
三相結構 .....	354
21·11 鐵心布置 (354)——21·12 安裝 (356)——21·13 設計要點及主要數據 (358)	
第二十二章 金屬整流器 .....	359
22·1 概述 (359)——22·2 近代的金屬整流器 (360)——22·3 扩大面結合型整流器 (361)——22·4 点接触型整流器 (365)—— 22·5 电气特性 (365)——22·6 温度的效应 (369)——22·7 大气条件的效应 (370)——22·8 老化与寿命期限 (371)——22·9 整流器的电容 (372)——22·10 退化 (372)——22·11 金屬整流器的額定值 (373)——22·12 效率 (374)——22·13 正確設計的一般原則 (375)	

## 应 用

<b>第二十三章 磁放大器在无线电话中的应用</b>	377
23·1 历史概况(377)——23·2 用于纽约州斯堪内史特城与纽约城之间无线电联系中的磁放大器(378)——23·3 横跨大西洋用磁放大器的无线电话(379)——23·4 阿累克桑德逊发电机的转速控制(380)	
<b>第二十四章 饱和电抗器的应用</b>	382
24·1 概述(382)	
作功率控制用	383
24·2 剧院灯光控制(383)——24·3 用磁放大器控制电气广告(387)——24·4 “颜色灯”无线电调谐指示器(389)——24·5 电阻炉控制(390)——24·6 用饱和电抗器控制蓄电池充电(391)——24·7 卷线机电动机的控制(392)——24·8 饱和电抗器控制风扇速度(393)	
移相应用	394
24·9 阀流管的控制电路(394)	
高次谐波的发生	396
24·10 微小直流电压——如热电偶电动势——的放大(396)——24·11 磁放大器在计算机电路中(397)——24·12 磁通-阀门式罗盘(397)——24·13 磁性频率倍增器(399)	
作测量仪器之用	400
24·14 直流互感器(400)——24·15 磁性恒电流标准元件(402)	
<b>第二十五章 单拍式电器放大器的基本应用</b>	403
25·1 概述(403)——25·2 直流电器放大器中电感负载的效应(405)——25·3 用并激磁场控制法的直流电动机转速控制(407)——25·4 用电枢控制法的直流电动机转速控制(408)——25·5 直流发电机用的电压调节器(410)——25·6 高频交流发电机用的电压调节器(411)——25·7 匹配阻抗的偏移电路(413)——25·8 直流发电机用的电流调节器(415)——25·9 线路电压调整器(416)——25·10 转速调节器(418)——25·11 温度控制(420)	

<b>第二十六章 双拍式（推挽式）电器放大器的应用</b>	<b>422</b>
26·1 概述(422)——26·2 以饱和电抗器构成的磁差电路(422)	
——26·3 以电器放大器构成的磁差电路(423)——26·4 以饱和电抗器构成的电差电路(424)——26·5 以电器放大器构成的电差电路(425)——26·6 高效率的推挽式电路(429)——26·7 定位系统(431)——26·8 热电偶温度控制(432)——26·9 火焰檢測器(434)——26·10 光电池放大器(435)——26·11 可变增益的电器放大器(436)——26·12 电器放大器式鉴别器(437)——26·13 伺服电动机的控制(438)——26·14 关于放大級級間的一些問題(439)——26·15 推挽式电器放大器的设计(442)	
<b>第二十七章 专用设备</b>	<b>443</b>
27·1 概述(443)——27·2 反饋控制系統的概括的 要求(444)——	
27·3 伺服放大器(446)——27·4 二次諧波变頻器(449)——27·5 引燃管-整流器的控制(450)——27·6 频率控制系統(452)——	
27·7 磁通檢測器(454)——27·8 稳定 电路(458)——27·9 磁性記憶装置(460)	
<b>第二十八章 交流发电机电压調節器</b>	<b>461</b>
28·1 带有兩級磁放大器、电机放大机及励磁机的交流发电机电压調節器(461)——28·2 带有三級磁放大器 及励磁机的交流发电机电压調節器(465)——28·3 交流发电机用的靜止磁性 励磁机(467)——28·4 飞机用的靜止磁性电压調節器(470)	
 <b>非綫性电感器</b>	
<b>第二十九章 非綫性交流电抗器作为电路的元件</b>	<b>474</b>
29·1 概述(474)——29·2 非綫性电感器在机械整流器 中作为一个换流用的电抗器(474)——29·3 非綫性电感器与綫性电感器 的串联(巔峰变压器)(480)——29·4 基本的非綫性諧振 电路 (电压及电流檢測器)(482)——29·5 带有电阻的非綫 性諧振电路(486)——29·6 并联非綫性諧振电路附有較小的串联綫 性 电感器 (交流供电电压稳定器)(488)	
<b>符号</b>	<b>494</b>
<b>参考文献</b>	<b>501</b>
<b>汉英名詞对照</b>	<b>527</b>

# 磁 学

## 第一章 磁学理論概述

### 1·1 鉄磁学的发展史

根据历史記載，远在 4600 多年以前，古代中国首次出現了类似磁效应的事例<sup>[1]</sup>；所以磁学这一門学术比其它基础科学发展得更早些。

傳說，紀元前 2637 年，中国黃帝的軍队在中原追击一位叛乱的諸侯时，在濃厚大雾中迷失了路程的方向。黃帝看到这个情况，就創造了一辆馬車，車上站立着一个女像，不論馬車朝哪个方向前进，这女像总是面向南方。

虽然有遗迹表明，希腊人在包圍小亚細亚的特罗里 (Troy) 时采用了磁石，但是直到 11 或 12 世紀，历史文献上才出現了海洋航行中使用罗盘的記載。在这个期間內，磁学的发展史就和罗盘以及它在海洋航行中的应用密切联系着的。之后，罗盘的使用知識才从中国傳到阿刺伯，在第一次十字軍的期間，又由阿刺伯人傳給欧洲人<sup>[2]</sup>。

虽然磁的学术和它的应用是很早的，但是磁学作为科学还是近代的事情，而且还正在发展着。从黃帝以后的 45 个世紀中，鉄磁学始終沒有为理論研究者完全攻克，直到今天它还是物理科学中理解得最少的一門学科。

在绝大部分的这些年代中，在美国的焦西非·亨利 (Joseph Henry) 和英国的米恰厄耳·法拉第 (Michael Faraday) 发现鉄磁感应的原理以前，由于已經有了硬磁性材料 (永久磁性材料)，因而阻碍了这門科学的发展。60 多年以前，随着电气时代的开

始，軟磁性材料的应用范围扩大了，因此终于鼓舞了理論研究者对鐵磁学进行新的探索。

从 1935 年以来，由于各部門提出需要更多的、各式各样的軟磁性材料的要求，促使磁学理論有了很大的进展。最近由于磁放大器的发展，促使磁性材料和磁学科学更趋完善。現代科学在磁性材料新品种方面的发展为我們的时代創造出許多新穎設備。

## 1·2 磁量单位

磁量常用厘米·克·秒制絕對电磁单位 (emu) 来表示。可是由于工程上习惯采用英制单位 (mEu) 和米·千克·秒制实用单位 (mks)，因此下面的表 1·1 和 1·2 中列出了这些单位之間的換算关系。有关磁学术語的詳細說明可參閱文献 3~6。

表1·1 适用于鐵磁計算的換算表

厘米 $\times 0.3937 =$ 吋	吋 $\times 2.540 =$ 厘米
厘米 <sup>2</sup> $\times 0.1550 =$ 吋 <sup>2</sup>	吋 <sup>2</sup> $\times 6.452 =$ 厘米 <sup>2</sup>
厘米 <sup>3</sup> $\times 0.0610 =$ 吋 <sup>3</sup>	吋 <sup>3</sup> $\times 16.39 =$ 厘米 <sup>3</sup>
克/厘米 <sup>3</sup> $\times 0.03613 =$ 磅/吋 <sup>3</sup>	磅/吋 <sup>3</sup> $\times 27.68 =$ 克/厘米 <sup>3</sup>
微歐/厘米 <sup>3</sup> $\times 0.3937 =$ 微歐/吋 <sup>3</sup>	微歐/吋 <sup>3</sup> $\times 2.540 =$ 微歐/厘米 <sup>3</sup>
吉柏 $\times 0.7958 =$ 安匝	安匝 $\times 1.257 =$ 吉柏
奧斯特 $\times 2.021 =$ 安匝/吋	安匝/吋 $\times 0.4947 =$ 奧斯特
奧斯特 $\times 0.7958 =$ 安匝/厘米	安匝/厘米 $\times 1.257 =$ 奧斯特
安匝/厘米 $\times 2.540 =$ 安匝/吋	安匝/吋 $\times 0.3937 =$ 安匝/厘米
高斯 $\times 6.452 =$ 線/吋 <sup>2</sup>	線/吋 <sup>2</sup> $\times 0.1550 =$ 高斯
麦克斯威 $\times 1 =$ 線	瓦/磅 $\times 0.2762 =$ 瓦/吋 <sup>3</sup> (比重 = 7.65)
瓦 $\times 10^7 =$ 尔格/秒	瓦/吋 <sup>3</sup> $\times 3.621 =$ 瓦/磅 (比重 = 7.65)

**磁动势** (单位——吉柏 Gb)。建立磁场所必需的作用力称为磁动势，以后縮写为 mmf。它可以由于电流通过一根导線或由于一个磁化物体的作用力而产生。在絕對电磁单位中，磁动势以

表1·2 厘米·克·秒制絕對电磁单位和英制单位  
以及米·千克·秒制实用单位之間的換算表

名称和符号	絕對电磁单位	英 制 单 位	实 用 单 位
磁动势( $F$ )	吉柏	$\times 0.7958 =$ 安匝	$\times 0.7958 =$ 安匝
磁场强度( $H$ )	吉柏 奥斯特	$\times 2.021 =$ 安匝/吋	$\times 10^3 / 4\pi =$ 安匝/米
磁通( $\Phi$ )	麦克斯威 麦克斯威	$\times 1 =$ 綫	$\times 10^{-8} =$ 韦伯
磁感应( $B$ )	高斯 高斯	$\times 6.452 =$ 綫/吋 <sup>2</sup>	$\times 10^{-4} =$ 韦伯/米 <sup>2</sup>
导磁率( $\mu$ )	高斯/奥斯特		$\times 4\pi / 10^7 =$ 亨利/米

吉柏表示，并按下列公式計算：

$$F = 0.4\pi IN \text{ Gb} \quad (1 \cdot 1)$$

式中  $I$  是导体中的激磁电流，以安表示；  $N$  是圍繞在磁路四周的导体匝数。

**磁通** (单位——麦克斯威Mx)。和电路的欧姆定律相似，磁路中的磁通  $\Phi$  是

$$\Phi = \frac{F}{R} \text{ Mx} \quad (1 \cdot 2)$$

式中  $F$  是磁路的磁动势，  $R$  是磁阻，它与磁路的几何尺寸以及导磁率有关。磁通是由于磁动势的作用而存在的，当磁通量改变时，被它所包围的电路中感应而产生了电压。在絕對电磁单位中，磁通以麦克斯威表示，并由法拉第定律求得：

$$e = - \frac{d\phi}{dt} N 10^{-8} \text{ V} \quad (1 \cdot 3)$$

式中  $e$  是感应电动势，  $d\phi/dt$  是磁通量 (麦克斯威) 在每秒钟内的变化率，  $N$  是被磁通包围着的导体数。

**自感** (单位——亨利H)。如果繞組中有电流  $i$  通过时产生磁通  $\phi$ ，由这磁通感应而产生的电动势  $e$  可由下式表示

$$e = - L \frac{\partial i}{\partial t} \quad \text{V} \quad (1 \cdot 4)$$

从方程 1·3 和 1·4 求得

$$L = \frac{\partial \Phi}{\partial i} N 10^{-8} \quad \text{H} \quad (1 \cdot 5)$$

式中  $\phi$  以麦克斯威表示，  $i$  以安表示，  $N$  是匝数，  $L$  称为自感系数， 簡称自感。

**磁场强度** (单位——奥斯特 Oe)。磁路中任何一点的磁场强度  $H$  由磁动势在空间中的变化率求得：

$$H = \frac{\partial F}{\partial l_{Fe}} \quad \text{Oe} \quad (1 \cdot 6)$$

由于磁场强度的绝对电磁单位是奥斯特，因此在均匀磁场中，磁场强度是

$$H = \frac{F}{l_{Fe}} \quad \text{Oe} \quad (1 \cdot 7)$$

式中  $F$  是磁动势，以吉柏表示；  $l$  是磁路长度，以厘米表示。

**磁感应** (单位——高斯 Gs)。在绝对电磁单位中，磁感应以高斯表示，在均匀磁场中，它是

$$B = \frac{\Phi}{A} \quad \text{Gs} \quad (1 \cdot 8)$$

式中  $\Phi$  是在磁路的面积  $A$  中通过的磁通，以麦克斯威表示；  $A$  是与磁通方向相垂直的面积，以平方厘米表示。

**真空中的导磁率** (单位——高斯/奥斯特 Gs/Oe)。在绝对电磁单位中，磁场强度  $H$  和磁感应  $B$  之间的相互关系是：每一奥斯特的磁场强度在真空中产生一高斯的磁感应。比率  $B/H$  称为导磁率，在真空中 (实际上在空气中也是如此)：

$$B = \mu_0 H \quad \text{Gs} \quad (1 \cdot 9)$$

式中  $\mu_0$  是真空的导磁率，它的定义是每一奥斯特时一高斯的磁感应。

### 1·3 磁化曲綫<sup>[7]</sup>

鐵磁材料中表現一种經常处于內部磁飽和的情況，不論外加的激磁程度如何。這種內部磁飽和稱為固有磁化。外加了磁場以後，擾亂了固有磁化，以致在某些部分從外面可能覓察出磁場強度。

下面研究一完全去磁后的磁性材料，就是說它的外表上不顯示出固有的磁化。假如外加以磁場，并使磁場強度從零值開始增大到某个极大值，那末這材料中的磁感應也將增加為极大值。如果以測得的磁感應值和相應的外加磁場強度值作為座標，畫出曲綫，就得到這材料的磁化曲綫。

圖 1·1 表明典型的磁化曲綫。可以看到，當磁場強度從零值開始增大時，磁感應  $B$  也就增加，起初緩慢地增加，經過第一彎折段 1 以後，就非常迅速地增加。到第二彎折段 2 以後，磁化曲綫的斜率急劇減小。在此以後，磁感應基本上隨着磁場強度的進一步增大而線性地增加，但增加的速度很小。

圖 1·1 中所表明的磁感應是這材料的總磁感應，它包括二種成分：

1. 磁感應  $\mu_0 H$ ，它是當材料不具有鐵磁性質時出現的；

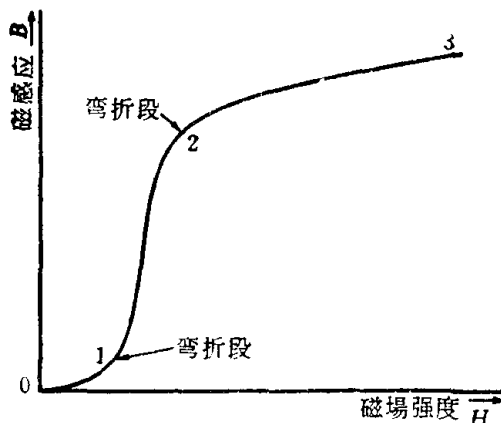


圖 1·1 典型的磁化曲綫。

2. 磁感应  $B_i$ , 它是由于鐵磁材料的固有磁化而产生的。用数学的方式可以表示如下:

$$B = \mu_\nu H + B_i, \text{ Gs} \quad (1 \cdot 10)$$

式中  $B$  是鐵心中的总磁感应。

外加在鐵磁材料上的磁场强度增大时, 固有磁感应  $B_i$  并不是无限制地增加, 而是达到一个极限值, 这称为材料的飽和磁感应  $B_s$ 。它的大小随着材料的固有特性而不同。但是总磁感应仍是緩慢增加着, 这是因为总磁感应中与鐵磁性质无关的一个成分  $\mu_\nu H$  继續增加的缘故。图 1·2 中表明了这个現象。

由給定的材料組成一定形状的鐵心, 它的磁化曲綫飽和区域的斜率对磁放大器的运行是很重要的, 这是因为这斜率对于一定負載电阻时所能得到的极大輸出电流有关系。斜率愈大, 所謂飽和电感 (与負載电阻串联的) 也愈大, 因之, 負載电流就愈小。

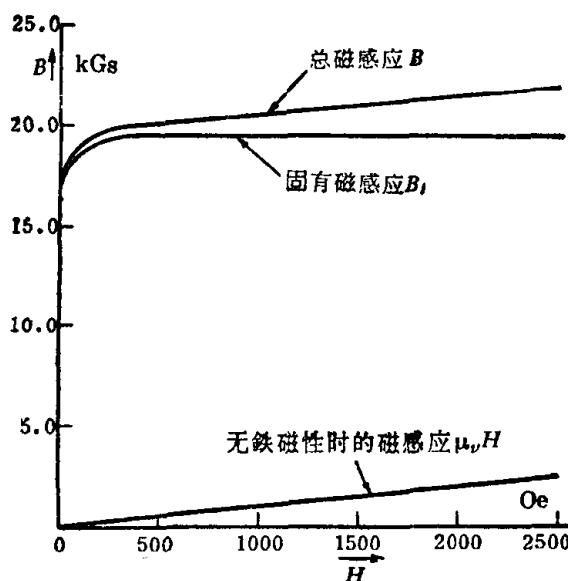


图 1·2 固有磁感应和总磁感应。

1·4 靜態磁滯環線<sup>[3, 9]</sup>

現在再來研究完全去磁后的磁性材料。如果外加磁场  $H$ ，并且使它的强度从零值开始向正值增大，那末这材料中的磁感应  $B$  也将增加， $B$  值和  $H$  值的这种相互关系将如图 1·3 中曲线 0-1 所示。

如果从图 1·3 中的点 2 起把磁场强度减小一些，那末可以看到，当  $H$  减小时的磁化曲线与  $H$  增大时的原来磁化曲线不一致。这里，磁感应并不是以原先增加时那样的速度在减小的。

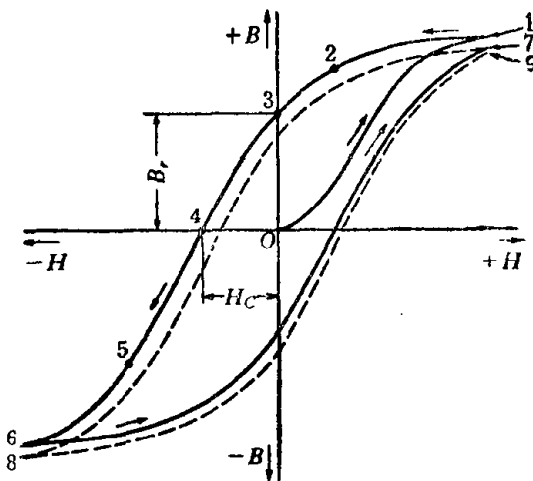


图 1·3 原先未磁化过的铁磁材料的  $B$ - $H$  曲线。

如果把磁场强度减小到零值，可以看到磁感应并不变为零值，而是保持在  $B_r$  值，这称为剩余磁感应，它就是图 1·3 中点 3 所表示的磁感应。

把外加磁场强度反方向增大到  $H_c$  值，如图 1·3 中点 4，铁心中的磁感应可以减少到零值。把磁感应减少到零值所需要的磁场强度  $H_c$  称为矫顽磁力。

把磁场强度在反方向中进一步增大，磁感应也在反方向中增加，如图 1·3 中曲线 4-5-6 所示。如果把磁场强度又减小到零值，然后再以相反的方向增大到和原来一样的极大值，如图 1·3 中曲线 6-7 所示，那末环线不闭合。在点 7 的磁感应略小于在点 1 的磁感应。假如把这循环重复一次，可以看到点 9 和点 7 是比点 7 和点 1 靠近一些，但是环线仍然不闭合。